

## بررسی و تحلیل آشفتگی، نوسانات و جهش نواحی بارشی ایران

دریافت مقاله: ۹۶/۱۱/۲۵ پذیرش نهایی: ۹۷/۱۰/۲۱

صفحات: ۱۴۹-۱۲۷

مهردی دوستکامیان: دانشجوی دکتری تغییر اقلیم دانشگاه زنجان، زنجان، ایران<sup>۱</sup>

Email: s.mehdi67@gmail.com

حسین عساکری: استاد اقلیم شناسی دانشگاه زنجان، زنجان، ایران.

Email: asakereh1@yahoo.com

محمد دارند: دانشیار و عضو هیئت علمی، دانشکده منابع طبیعی، گروه آب و هواشناسی دانشگاه کردستان، سنندج، ایران.

Email: darand\_mohammad@yahoo.com

### چکیده

هدف از این مطالعه بررسی و تحلیل آشفتگی، نوسانات و جهش نواحی بارشی ایران می باشد. برای این منظور داده های محیطی در طی بازه زمانی ۱۳۴۰ تا ۱۳۹۳ در دو بخش جمع آوری شده اند. در بخش اول داده ها حاصل میان یابی مشاهدات بارش روزانه ۱۴۳۴ ایستگاه همدیدی و اقلیمی از ابتدای سال ۱۳۴۰ تا ۱۳۸۳ از پایگاه داده های اسفزاری استفاده شده است. در بخش دوم داده ها حاصل میان یابی مشاهدات بارش روزانه ۶۷۳ ایستگاه همدیدی و اقلیمی از ابتدای سال ۱۳۹۲ تا ۱۳۹۲ می باشد. بعد از تشکیل پایگاه داده ای به منظور شناسایی نواحی بارشی ایران از تحلیل خوش ای بر روی داده های میانگین و ضریب تغییرات بارش سالانه و ماهانه استفاده شده است. برای اعتبار سنجی نواحی بارشی ایران از تحلیل سیلهوته استفاده شده است. در ادامه به منظور بررسی آشفتگی ها، جهش و نوسانات نواحی بارشی ایران پرداخته شده است. نتایج حاصل از تحلیل خوش ای بیانگر این بوده است که نواحی بارشی ایران به شش طبقه قابل تقسیم بندی می باشند. در این بین نواحی خزری (ناحیه چهار) از بیشترین مقدار بارش و کمترین ضریب تغییرات برخوردار است. توزیع رژیم بارش در هر شش نواحی نشان می دهد که رژیم بارش بیانگر این بوده است که در فصل زمستان و بهار و بعض پاییز می باشد. بررسی و تحلیل آشفتگی بارش بیانگر این بوده است که بارش به جز در ناحیه چهار (ناحیه خزری) در سایر نواحی دیگر توزیع رخداد بارش همراه با آشفتگی بوده است. با وجود اینکه بیشترین آشفتگی ها در ناحیه زاگرسی رخ داده است اما بیشترین توالی آشفتگی ها مربوط به ناحیه بارشی پنجم می باشد. کمترین توالی آشفتگی ها در ناحیه مرکزی و شرقی کشور رخ داده است. نتایج حاصل از تحلیل جهش نوسانات بیانگر این است که آشفتگی های بارش به جز در سالهای ابتدایی نواحی بارشی دو و پنج در سایر نواحی دیگر بارش فاقد جهش معنی دار بوده است این در حالی می باشد که نوسانات کوتاه مدت ۳ تا ۵ ساله بر بارش هر شش نواحی حاکم بوده است.

کلیدواژگان: نواحی بارشی، نظام پذیری (TN)، نمایه الکساندرسون (SNHT)، تحلیل سیلهوته (SI)، تجزیه مولفه های اصلی.

۱. نویسنده مسئول: زنجان، دانشگاه زنجان، دانشکده علوم انسانی، گروه جغرافیا .۹۱۲۰۶۴۰۹۵۴

**مقدمه**

بارش یکی از مهم ترین و متغیرترین عناصر اقلیمی است که در بعد زمان و مکان به شدت تغییر می کند. تغییر زمانی و مکانی بارش پیامدهای زیست محیطی و اقتصادی فراوانی را به دنبال دارد. این عنصر که تقریبا تمام حیات در کره زمین و نیز امور کشاورزی، دامپروری، شیلات، ساختمان سازی و صنعت گردشگری (توريسم) را تحت تاثیر قرار می دهد (عليجانی، ۱۳۸۱: ۴۴-۴۵) تقریبا تمامی ابعاد حیات کره‌ی زمین را تحت تاثیر خود قرار می دهد (عزیزی، ۱۳۷۹: ۱۱۵-۱۲۳) به طوری که دامنه مقیاس زمانی تغییر زمانی و مکانی الگوهای بارش، از لحظه ها و دقیقه ها در هسته طوفان تا دهه ها و طولانی تر از آن را دربرمی گیرد (گارسیا<sup>۱</sup> و همکاران، ۲۰۰۲: ۷۱-۹۵، توسيج و انکاسوچ، ۲۰۰۵: ۶۷-۷۷، سهيلا و جمين، ۲۰۰۹<sup>۲</sup>: ۱۷-۲۵). همین تغییر پذیری در مقیاس های مختلف دلیل اصلی رخداد بعضی از مخاطرات از جمله سیلاب ها و خشکسالی ها به شمار می آید (رودریگز<sup>۳</sup> و همکاران، ۱۹۹۸: ۲۹۹-۳۱۶، اوچولا و کرکايدس، ۲۰۰۳<sup>۴</sup>: ۳۲۷-۳۴۲، جيانتنگ<sup>۵</sup> و همکاران، ۲۰۰۹: ۲۴۸-۲۶۰؛ ناستوس و زروفوس، ۲۰۰۹<sup>۶</sup>: ۱-۱۳). از نظر مکانی نیز به ویژه در کشورهای خشک و عرض های میانه در فاصله کمتر از یک کیلومتر میزان و ویژگی های بارشی به شدت متغیر است. در ایران به دلیل قرار گرفتن در یک منطقه خشک و نیمه خشک جهان، آب و به تبع آن بارش های جوی به عنوان منبع اصلی و عمده تأمین آب کشور از اهمیت ویژه ای برخوردار است. به دلیل شرایط جغرافیایی، توپوگرافی و اقلیمی منطقه، تغییرات مکانی و زمانی بارش در ایران بسیار زیاد است و در بسیاری از مناطق ایران، بارش سالیانه خیلی کمتر از تبخیر و تعرق بالقوه می باشد (محمدی، ۱۳۸۹: ۱-۱۸).

قرار گرفتن کشور ایران در منطقه‌ی خشک و نیمه‌خشک جهان، سبب شده است که بارش‌های جوی به عنوان منبع اصلی و عمده تأمین آب کشور از اهمیت ویژه‌ای برخوردار شود. هم چنین شرایط جغرافیایی، توپوگرافیکی و اقلیمی منطقه، سبب تغییرات مکانی و زمانی بارش در ایران شده است و در بسیاری از نقاط آن، بارش سالیانه خیلی کمتر از تبخیر و تعرق بالقوه می باشد (محمدی و همکاران، ۱۳۹۰: ۱-۱۸). کشور ایران سرزمینی بسیار متنوع است. این گوناگونی در تمام ویژگی‌های جغرافیایی آن از مسائل انسانی گرفته تا خصوصیات طبیعی به چشم می خورد. شاید بتوان گفت که بهترین جلوه گاه این همه تنوع و گوناگونی، آب و هوای کشور می باشد. هیچ کدام از ویژگی‌های جغرافیایی به اندازه پراکندگی مکانی و زمانی عناصر آب و هوایی، تنوع نشان نمی دهند. از این رو هیچ کدام از عناصر آب و هوایی تصویر همگنی ندارند. این ناهماهنگی و نا یکنواختی عناصر آب و هوایی به طور حتم ناشی از یک عامل نیست. مسلماً در طول سال عوامل متعددی بر اقلیم ایران حاکم هستند. از جمله این عوامل الگوهای بزرگ مقیاس جوی یا اقیانوسی می باشند. این الگوهای در سطح زمین و در

1 -Garcia

2 - Tasic and Unkasevic

3 - Suhaila Jamaludin and Jemain Abdul Aziz

4 - Rodriguez

5 - Ochola and Kerkides

6 -Jianting

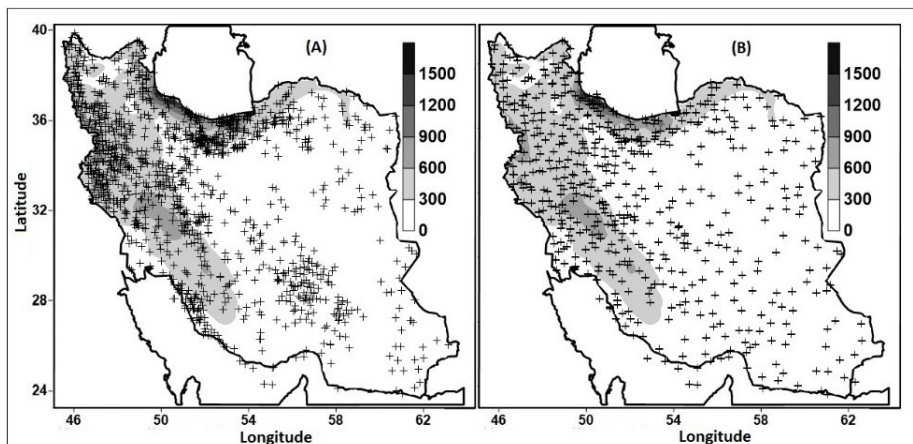
7 - Nastos and Zerefos

ترازهای مختلف جو شکل می‌گیرند که حاصل روابط پیچیده و کنش متقابل بین اقیانوس، خشکی، کوهستان، شرایط لایه پایین جو می‌باشند(عساکری ۱۳۸۶: ۱۲۳).

بارش‌های سالانه اندک، نوسانات شدید رگباری و کوتاه بودن مدت بارش‌ها از خصوصیات بارز رژیم‌های بارندگی ایران محسوب می‌شود. ایران به علت موقعیت خاص جغرافیایی، از آب‌وهوای متنوعی برخوردار است. نواحی کوهستانی غرب کشور تحت تأثیر دستگاه‌های قوی باران‌زای مدیترانه‌ای قرار دارند و نواحی ساحلی خلیج فارس و جنوب شرقی کشور تحت تأثیر نفوذ اثرات تضعیف شده بادهای موسمی می‌باشند؛ بنابراین در چنین شرایطی ایران از نوسانات اقلیمی شدید برخوردار می‌شود(عربی، ۱۳۸۴-۱). بارش به عنوان یک متغیر تصادفی جزو آن دسته از عناصر اقلیمی است که تغییرات چشمگیری با زمان و مکان دارد؛ به‌گونه‌ای که می‌توان آن را در زمرة تغییرپذیرترین عناصر جوی به حساب آورد. این تغییرات زمانی در مکان‌های خشک و نیمه‌خشک از شدت بیش‌تری برخوردار است(رسولی و همکاران، ۱۳۹۲: ۳). بارش‌های ایران در طی زمان و در مکان‌های مختلف تحت تأثیر الگوهای سامانه‌ها و خصوصیات اقلیمی متفاوت قرار دارد؛ که منجر به تفاوت قابل ملاحظه بارش سالانه ایران به لحاظ زمانی و مکانی شده است(فرج زاده و بابایی فینی، ۱۳۸۱: ۵۱). به‌گونه‌ای که بر عکس سواحل خزر، زاگرس و البرز که بارش بسیار بالایی دارند، مناطق مرکزی میزان بارش بسیار کم‌تر دارند(عسگری و رحیم زاده، ۱۳۸۵: ۶۷). با این حال میزان بسیار کم بارش علاوه بر توزیع ناهمگن مکانی، دارای نوسانات شدید زمانی نیز هست. بنابراین این توزیع ناهمگن زمانی و مکانی در ایران متأثر از توزیع سامانه‌های گردش جهانی است که کمترین تغییر در الگوی آن، ناهنجاری‌های شدید آب و هوایی را به دنبال می‌آورد. بدین ترتیب شناخت و بررسی شرایط اقلیمی و تغییرات و نوسانات و آشونگی‌های آن بسیار مهم است.

### روش تحقیق

کشور ایران بین عرض‌های ۲۵ درجه و ۳۹ درجه شمالی الی ۴۴ درجه و طول ۴۷ درجه و ۵ درجه شرقی الی ۱۸ درجه و ۳۶ درجه شرقی واقع شده است که به لحاظ عرض جغرافیایی و نفوذ مرکز پرفسنار جنب حاره، علاوه بر مقدار کم بارش دریافتی در طول سال، رژیم بارندگی آن از نوسان شدیدی برخوردار است. هدف از این مطالعه بررسی و تحلیل آشونگی‌ها، جهش و نوسانات نواحی بارشی ایران می‌باشد. برای این منظور داده‌های بارشی ایران در دو بخش تهیه شده است. بخش اول: داده‌های میانیابی شده‌ی پایگاه داده‌ای اسفاری می‌باشد که توسط مسعودیان با تفکیک مکانی  $15 \times 15$  کیلومتر برای دوره‌ی ۱۳۴۰/۱/۱ تا ۱۳۸۳/۱۲/۲۹ برای ۱۴۳۷ ایستگاه به ماتریسی به ابعاد  $15992 \times 7187$  تولید شده است. بنابراین داده‌های این پایگاه در قالب سامانه تصویر لامبرت مخروطی تولید شده و با آرایش ۵ (زمان در سطر و مکان در ستون‌ها) مرتب شده است.



شکل (۱). توزیع و پراکنش ایستگاه در بخش اول (A). توزیع و پراکنش ایستگاه در بخش دوم (B).

بخش دوم: این بخش از داده‌ها با استفاده از همان روش و همان تکنیک (در قالب سیستم تصویر لامبرت مخروطی) از تاریخ ۱۳۸۳/۱۲/۲۹ تا ۱۳۹۲/۱۰/۱۰ به کمک ۶۷۳ ایستگاه به پایگاه داده‌ای اول اضافه شده است که درمجموع ماتریسی به ابعاد  $19279 \times 7187$  ایجاد گردیده است و به عنوان پایگاه داده‌ی نهایی در نظر گرفته شد. توزیع پراکنش ایستگاه‌های مورد مطالعه در هر دو بخش در شکل (۱) ارایه شده است.

بعد از تشکیل پایگاه داده‌ای در این مطالعه ابتدا به منظور شناسایی نواحی بارش ایران، میانگین و ضریب تغییرات بارش سالانه و ماهانه برای هر  $2187$  یاخته ایران محاسبه شده است که در مجموع  $26$  متغیر را شامل شده است. سپس با اجرای تحلیل خوش‌ای بر روی ماتریسی به ابعاد  $7187 \times 26$  دارنمای حاصل از آن ترسیم شد و با استفاده از آزمون اختلاف میانگین و تحلیل پراش درون گروهی و برون گروهی محل برش دارنمای شناسایی شده است. در ادامه به منظور اعتبارسنجی نواحی بارشی ایران از تحلیل سیلهوته استفاده شده است. روش اعتبار سنجی سیلهوته بر اساس میانگین فاصله هریک از نمونه‌های یک خوش با تمام نمونه‌های موجود در همان خوش و میانگین فاصله کل نمونه موجود در خوش‌های دیگر با یک خوش مشخص تعریف می‌شود. بر اساس این دیدگاه برای هر خوش میزان پراکندگی و همبستگی داده‌ها تعیین می‌شود که مقادیر بیشینه این شاخص برای تعیین تعداد بهینه خوش بکار می‌رود (بولشکاو<sup>۱</sup>: ۸۳۳-۸۲۵):

رابطه (۱):

$$S(i) = \frac{(b(i) - a(i))}{\max\{b(i), a(i)\}}$$

در رابطه (۱)  $a(i)$  نماینگر تشابه نداشتن یک نمونه با نمونه‌های دیگر در یک خوش و  $b(i)$  نماینگر تشابه نداشتن یک نمونه نسبت به همه نمونه‌ای موجود در خوش‌های دیگر (نزدیک‌ترین خوش‌ها) می‌باشد. مقدار شاخص‌های اعتبار سنجی سیلهوته بین  $1$  و  $-1$  متغیر است درصورتی که این شاخص برابر  $1$  باشد بیانگر این است که خوشبندی به درستی صورت گرفته است. اگر مقدار شاخص نزدیک صفر باشد این بدین معناست که

نمونه را می‌توان به یک خوش نزدیک‌تر نسبت داد و نحوه قرارگیری نمونه از دو خوش به یک اندازه دور است. درصورتی که این شاخص برابر ۱- بددست آمد این بدین معناست که خوش بندی بهدرستی انجام نشده است. بعد از شناسایی نواحی بارشی ایران، به کمک تحلیل مولفه های اصلی (فرشاد فر ۱۳۹۰: ۳۵۸-۴۵۰) یاخته ای را که بیشترین پراش و در عین حال هم بیشترین ضربی همبستگی را با سایر یاخته های دیگر داشت جهت بررسی آشفتگی (نظم پذیری) های بارش، به عنوان نماینده آن ناحیه انتخاب گردید. به منظور بررسی و تحلیل آشفتگی های بارش از آزمون لایپس استفاده شده است. این ازمون زمانی قابل استفاده می‌باشد که ما بخواهیم نظم پذیری یا آشفتگی رفتار حاکم بر داده ها را مورد بررسی قرار دهیم (پینگ و استفنس<sup>۱</sup>: ۲۰۰۰-۴۱۷). به عبارتی دیگر آیا روند حاکم بر داده ها از نظم خاصی پیروی می‌کند یا فاقد نظم می‌باشد در چنین موقعی این آزمون کارایی خوبی خواهد داشت. اگر  $t_1, t_2, t_3, \dots, t_n$  زمان بروز یک رخداد اقلیمی باشند هر کدام از این داده ها یک آماره ترتیبی اند که اگر از نظم خاصی پیروی می‌کنند می‌باشند توسعه آنها در یک بازه یکتاختی رخ داده باشند. آماره این آزمون از رابطه زیر به دست می‌آید:

رابطه (۲):

$$U = \frac{\frac{1}{n-1} \sum_{i=1}^n x_i - \frac{T_n}{2}}{\frac{T_n \sqrt{\frac{1}{12(n-1)}}}{\sqrt{\frac{1}{12n}}}} = \frac{\sum_{i=1}^n x_i - \frac{T_n}{2}}{\frac{T_n}{\sqrt{12n}}}$$

در رابطه (۲) فرمول  $T_n$  بازه زمانی مورد نظر می‌باشد که  $x_i$  مجموع زمان رخداد پیشامد مورد نظر همچنین  $n$  تعداد پیشامدها می‌باشد. فرض آزمون:

رخداد بارش فاقد نظم و دارای آشفتگی می‌باشد( $H_0$ ).

رخداد بارش دارای نظم و فاقد آشفتگی می‌باشد( $H_1$ ).

وقوع و رخداد آشفتگی های بارش در دراز مدت می‌تواند منجر به وقوع جهش یا نوساناتی در بارش شوند برای همین منظور به بررسی و جهش و نوسانات بارش در نواحی بارش ایران به کمک آزمون الکساندرسون و تحلیل طیفی پرداخته شده است. روش الکساندرسون، میانگین  $k$  سال اول با میانگین  $n-k$  سال بعدی مقایسه می‌شود تا آماره  $T(K)$  به دست آید (الکساندرسون، ۱۹۹۵):

رابطه (۳):

$$T(K) = K \times \bar{Z}_1^2 + (n-K) \times \bar{Z}_2^2$$

در رابطه (۳)  $\bar{Z}_1^2$  و  $\bar{Z}_2^2$  را می‌توان از طریق رابطه (۴) محاسبه کرد:

رابطه (۴):

$$\bar{Z}_1^2 = \frac{1}{K} \sum_{i=1}^k (Y_i - \bar{Y}) / S$$

$$\bar{Z}_2^2 = \frac{1}{n-K} \sum_{i=k+1}^n (Y_i - \bar{Y})/S$$

در رابطه (۴)  $\bar{Y}_i$  مقادیر سری سالانه (از ۱ تا  $n$ ) میانگین سری  $S$  انحراف معیار می‌باشد. آماره آزمون جهت رد فرض صفر به صورت رابطه (۷) تعریف می‌شود:

رابطه (۵):

$$T_o = \max(T(K)) = \max(\bar{Z}_1^2 + (n-K)\bar{Z}_2^2) \quad 1 \leq k \leq n-1$$

در رابطه (۵) اگر  $T_o$  بزرگتر از یک سطح بحرانی مشخص باشد می‌گوییم فرض صفر در سطح معنی داری مورد نظر رد شده است. آستانه بحرانی آماره الکساندرسون برای دوره ۵۰ ساله بارش ایران بر اساس جدول الکساندرسون ۸/۶۵ می‌باشد. بنابراین اگر آماره محاسبه شده از این آماره بزرگتر باشد جهش رخ داده است. روش تحلیل همسازها، روشنی بسیار کارا و مفید برای توصیف شاخص‌های نهان و الگوهای بارش سالانه (لیوادا و همکاران، ۱۹۸۹: ۴۷)، تحلیل گستره جغرافیایی رژیم‌های بارش و نمایش مرز آنها (کرکایلا<sup>۱</sup> و همکاران، ۱۹۶۵: ۱۳۸۸)، شناسایی فصول بارش و تحلیل تغییرات مکانی آن به شمار می‌آید. از اهداف تحلیل همسازها، تعیین پارامترهای مشخص‌کننده پراش بسامدهاست. هر همساز گویای یک رفتار تنابی در یک سری زمانی است. از این‌رو هر طول موج متوالی در سری زمانی تنابی با یک همساز نشان داده می‌شود. به طور کلی برای استخراج چرخه‌ها توسط تحلیل طیف مراحل زیر انجام می‌شود (عساکر، ۱۳۸۸: ۳۳-۵۰):

تبديل سری زمانی به بسامد: برای این منظور بایستی ابتدا دو پارامتر را حساب کرد (چتغیلد ترجمه نیرومند و بزرگ‌نیا، ۱۳۸۱):

رابطه (۶):

$$a_i = \frac{2}{n} \sum_{t=1}^n x_t \cos\left(\frac{2\pi q}{n} t\right) \quad b_i = \frac{2}{n} \sum_{t=1}^n x_t \sin\left(\frac{2\pi q}{n} t\right)$$

$$q = 1, 2, \dots, n$$

در رابطه (۶)،  $q$  تعداد هارمونیک‌ها (هم‌سازها) می‌باشد که برای سری‌های زوج به تعداد  $\frac{n}{2}$  و برای سری‌های زمانی فرد  $q = \frac{(n-1)}{2}$  هم‌ساز خواهیم داشت. با استفاده از رابطه زیر پراش هر یک از بسامدها (موج‌ها) حساب می‌شود:

رابطه (۷):

$$I(f_i) = \frac{n}{2} (a_i^2 + b_i^2)$$

۱- Kirkyla

۲- Livada

برای آزمون معنی‌داری ابتدا باید سه مرحله را به انجام رساند: الف) محاسبه میانگین طیف ( $\bar{S}$ )، ب) محاسبه خودهمبستگی مرتبه اول برای مشاهدات ج) محاسبه طیف برای یک سری تصادفی با مشخصات ( $r_1$ ) و ( $\bar{S}$ ) سری موجود با استفاده از رابطه‌ی (۸):  
رابطه (۸):

$$I(f_i) = \bar{s} \left[ \frac{1 - r_1^2}{1 + r_1^2 - 2r_1 \cos(\frac{\pi \times i}{q})} \right] \quad i = 1, 2, \dots, q$$

برای آزمون ابتدا یک فاصله اطمینان (عموماً ۹۵ درصد) مشخص می‌کنیم هر کدام از طیف‌ها (فرکانس‌ها) سری زمانی خارج از فاصله اطمینان باشند آن چرخه‌ها معنی‌دار خواهند بود. بدین منظور از آزمون خی دو استفاده می‌شود. درجه آزادی آزمون از رابطه زیر به دست می‌آید. با استفاده از مقادیر جدول  $x^2$  سطح معنی‌داری با استفاده از رابطه (۹) محاسبه می‌شود:  
رابطه (۹):

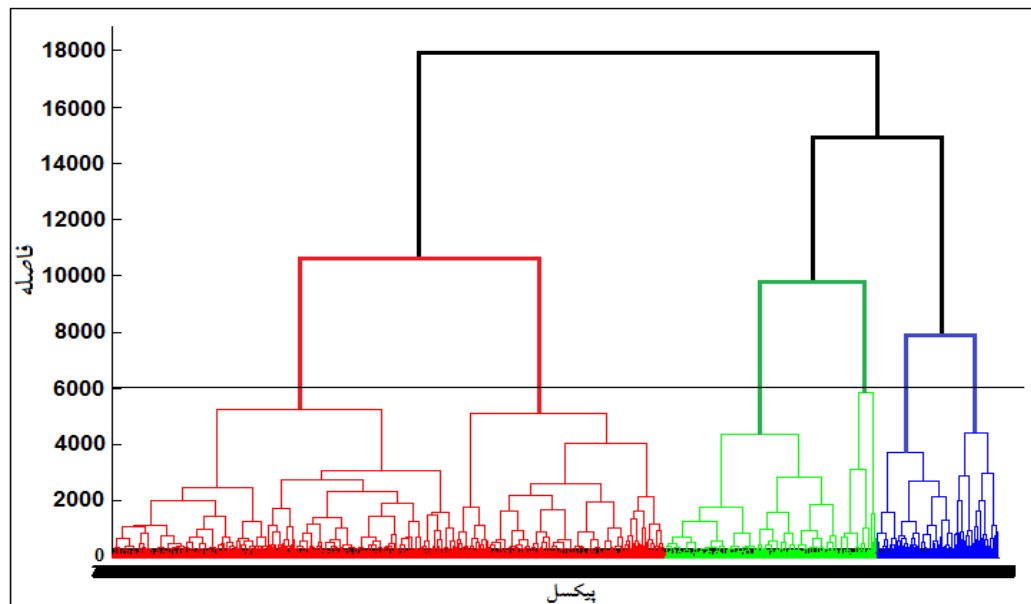
$$df = \frac{2n - \frac{q}{2}}{q}$$

$$sig \hat{I}(f) = \frac{x^2}{df} \times \hat{I}(f)$$

برای چرخه‌هایی که در آن‌ها مقدار پراش  $I(f) > \hat{I}(f)$  باشد آن چرخه‌ها معنی‌دار هستند.

## نتایج

همانطور که یاد شد بهمنظور ناحیه بندی بارش‌های فراغیر ایران از تحلیل خوش‌های استفاده شد. در این مرحله با استفاده از تحلیل خوش‌های سلسله مراتی و به کمک روش وارد یکی تحلیل خوش‌های بر روی ماتریس به ابعاد ۲۶×۷۱۸۷ بر روی بارش ایران انجام گرفت. دارنایی حاصل از تحلیل خوش‌های در شکل(۲) آورده شده است. در این شکل خط مشکی رنگ ضخیم تعداد ناحیه یا گروه‌ها را مشخص می‌کند. به منظور اعتبار سنجی نواحی بارشی ایران از تحلیل سیلهوته بهره گرفته شده است که نتایج آن در شکل(۳) ارائه شده است. در این اشکال نقاط دایره‌ای رنگ آبی نماینده هر ناحیه هستند که به روش تجزیه مولفه‌ها به دست آمده است شکل(۲). نتایج حاصل از تحلیل سیلهوته بیانگر این بوده است که نواحی بارشی ایران به درستی شناسایی شده‌اند به طوری که در هر شش ناحیه مقدار خطای حاصل از ناحیه‌بندی کوچکتر از ۴ درصد است. به عبارتی دیگر در اعتبار سنجی نواحی بارشی در بیش از ۹۵ درصد موارد یاخته‌ها به درستی در گروه‌های همگن قرار گرفته‌اند.



شکل(۲). دارنمای حاصل تحلیل خوشه ای بر روی داده های بارش و ضریب تغییرات

در جدول(۱) برخی از مشخصات توصیفی نواحی بارشی ایران آورده شده است. ناحیه بارشی یک تقریبا ۳ درصد از مساحت ایران را تشکیل می دهد این ناحیه بخش های از جنوب غرب و کرانه های شمالی ساحلی خلیج فارس را شامل می شود شکل(۲). میانگین بارش در این ناحیه  $2030.4$  میلیمتر می باشد و دارای ضریب تغییرات  $38/38$  درصد می باشد جدول(۱). در این ناحیه نمایه های مرکزی(میانگین، میانه و مد) اختلاف زیادی با هم دارند این وضعیت احتمالاً بیانگر افت خیز روزانه شدید بارش در این ناحیه می باشد به طوری که بارش نزدیک  $6037/18$  تاییدی بر این وضعیت می باشد از طرفی دیگر اختلاف دامنه چارکی بالا و کشیدگی  $2/87$  تاییدی دیگر بر این ادعا می باشد جدول(۱). حداقل میانگین بارش در این ناحیه  $3860.9$  میلیمتر و حداقل میانگین سالانه بارش در این ناحیه  $4892$  میلیمتر می باشد. بنابراین با توجه به ویژگی های یادشده این ناحیه را می توان به عنوان ناحیه ای با بارش کم و ضریب تغییرات بالا نامید جدول(۱). این منطقه از کشور به دلیل عرض جغرافیایی پایین، نزدیکی به دریا و ارتفاع پایین در اکثر ماه ها دارای آب و هوای گرم می باشد این وضعیت از یک سو در سطح زمین به دلیل وجود شرایط وضعیت کم فشار با منشأ کم فشارهای حرارتی گنگ و شبه جزیره ای عربستان و پر ارتفاع مستقل غرب آسیا در تراز  $500$  هکتوپاسکال و از طرف دیگر به دلیل انتقال هوای گرم، از عرض های پایین و هم از مناطق خشک داخل ایران به سوی منطقه ای مورد مطالعه می باشد (قویدل رحیمی و همکاران  $1394: 269$ ). ناحیه دوم براساس تحلیل خوشه ای  $10/95$  درصد و براساس تحلیل سیلهوته  $8/5$  درصد از مساحت ایران را در بر می گیرد بیشتر به صورت نواری امتداد کوه های زاگرس و بخش های از غرب ایران را در بر می گیرد شکل(۳). میانگین بارش در این ناحیه از کشور به  $584/16$  میلیمتر می رسد جدول(۱). همانند ناحیه یک در ناحیه زاگرسی بارش از ضریب تغییرات مکانی بالای برخوردار می باشد به طوری که ضریب تغییرات بارش در این ناحیه به  $27/56$  درصد رسیده است. از طرفی

اختلاف دامنه چارکی بسیار زیاد نشان می دهد که تغییرات مکانی بارش در این ناحیه بسیار زیاد می باشد جدول(۱).

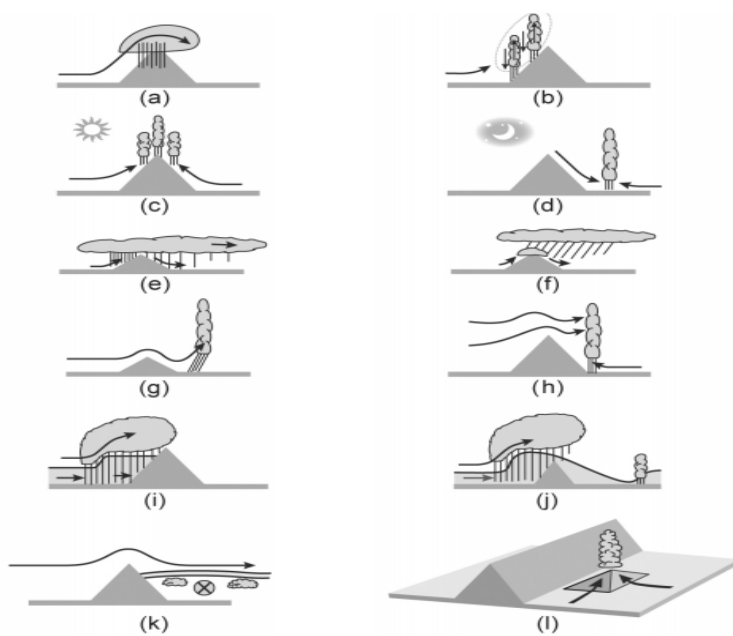
جدول(۱). مشخصات توصیفی خوشه های بارشی ایران

	ناحیه یک	ناحیه دو	ناحیه سه	ناحیه چهار	ناحیه پنج	ناحیه شش
	ناحیه با بارش کم و ضریب تغییرات بالا	ناحیه با بارش زیاد و ضریب تغییرات متوسط	ناحیه با بارش متوسط ضریب تغییرات زیاد و ضریب تغییرات متوسط	ناحیه با بارش بسیار زیاد و ضریب تغییرات بسیار کم	ناحیه با بارش کم و ضریب تغییرات بسیار بالا	ناحیه با بارش بسیار کم و ضریب تغییرات بالا
میانگین	۲۰۳/۱	۵۸۴/۲	۳۳۱/۷	۷۴۵/۹	۱۹۶/۹	۱۲۲/۲۳
میانه	۱۹۵/۳	۵۸۵	۳۲۵/۶	۷۴۴/۸	۱۸۲/۸	۱۰۱/۴
مد	۴۸/۳	۱۶۴/۹	۱۰۴/۳	۵۲۴/۱	۳۲/۴	۳۳/۵
پراش	۶۰۷۳/۱	۲۵۹۲۳/۸	۸۴۴۵/۳	۱۲۸۳۵/۶	۱۲۹۸۷/۴	۱۶۶۹/۳
ضریب تغییرات	۳۸/۳	۲۷/۵	۲۷/۷	۱۵/۲	۵۷/۸	۲۸/۱
چوگنی	/۳	-/۳	/۸	/۱۵	۸/۶	/۹۱
کشیدگی	۲/۹	۲/۸	۵/۶	۲/۶	۳/۱	۴/۲
کمبینه	۹۰/۱	۲۲۷/۶	۱۱۶/۱	۴۱۵/۵	۶۰/۱۴	۶/۸
بیشینه	۴۶۹/۱	۸۸۶/۷	۵۰۵/۸	۶۶۴/۷	۵۰۳/۴	۳۲۶/۵
درصد	C	۳/۱	۱۰/۹	۱۲/۷	۲۱/۹۳	۲۵/۳
پهنه	I	۲/۷	۸/۵	۱۸/۲	۱۹/۹۸	۳۶/۵

در این ناحیه از کشور سازوکارهای ارتفاعات زاگرس نقش مهمی در توزیع مکانی بارش ایفا کرده است. با این وجود سازوکار وقوع بارش در مناطق کوهستانی متفاوت می باشد به طوری که سازوکار بارش در مناطق کوهستانی از شکل(۲) پیروی می کنند (هوز<sup>۱</sup>، ۲۰۱۲: ۴۷-۲۰). به نظر می رسد با توجه به ارتفاع زیاد دامنه های روبه باد کوه های زاگرس سازوکار مشاهده شده در شکل ۲ نقش قابل توجهی در افزایش بارش در مناطق رشته کوههای داخلی زاگرس (ناحیه دو یا ناحیه زاگرسی) داشته است. با توجه به شکل (۲ - i) شاید بتوان افزایش مقادیر بارش در مناطق داخلی رشته کوههای زاگرس را به بارش های همرفتی ناشی از شکل گیری امواج گرانی نسبت داد. این علیرغم اینکه از جابجای اندکی برخوردارند اما در صورت شکل گیری حرکات قائمی شدیدی را در محیط کوهستانی در بی خواهند داشت. با این شرایط منبع اصلی تامین منابع رطوبتی این ناحیه از کشور در تراز پایینی جو دریای عرب و عمان می باشد به طوری که مطالعات شده نشان می دهد که دریای عرب و عمان در دوره مطالعه، بیشترین واگرایی شار رطوبت را بویژه در ترازهای پایینی داشته است این در حالی می باشد که نقش دریای سرخ در ترازهای میانی بارزتر شده است (فرج زاده و همکاران ۱۳۸۸: ۲۱۷-۱۹۳). همان طوری که اشاره شده است این ناحیه با توجه به اینکه دومین ناحیه پربارشی ایران می باشد اما مشاهده می شود که از ضریب تغییرات مکانی بالای برخوردار بوده است جدول(۱). بنابراین می توان گفت که در این ناحیه وجود رشته کوههای متعدد و موازی در منطقه زاگرس و غرب می تواند سبب شکل گیری یک سری امواج گرانی متوالی بر روی کوه های در امتداد جریانات هوا گردد (امیرامجدی و همکاران ۱۳۹۲) این

<sup>۱</sup> - Houze

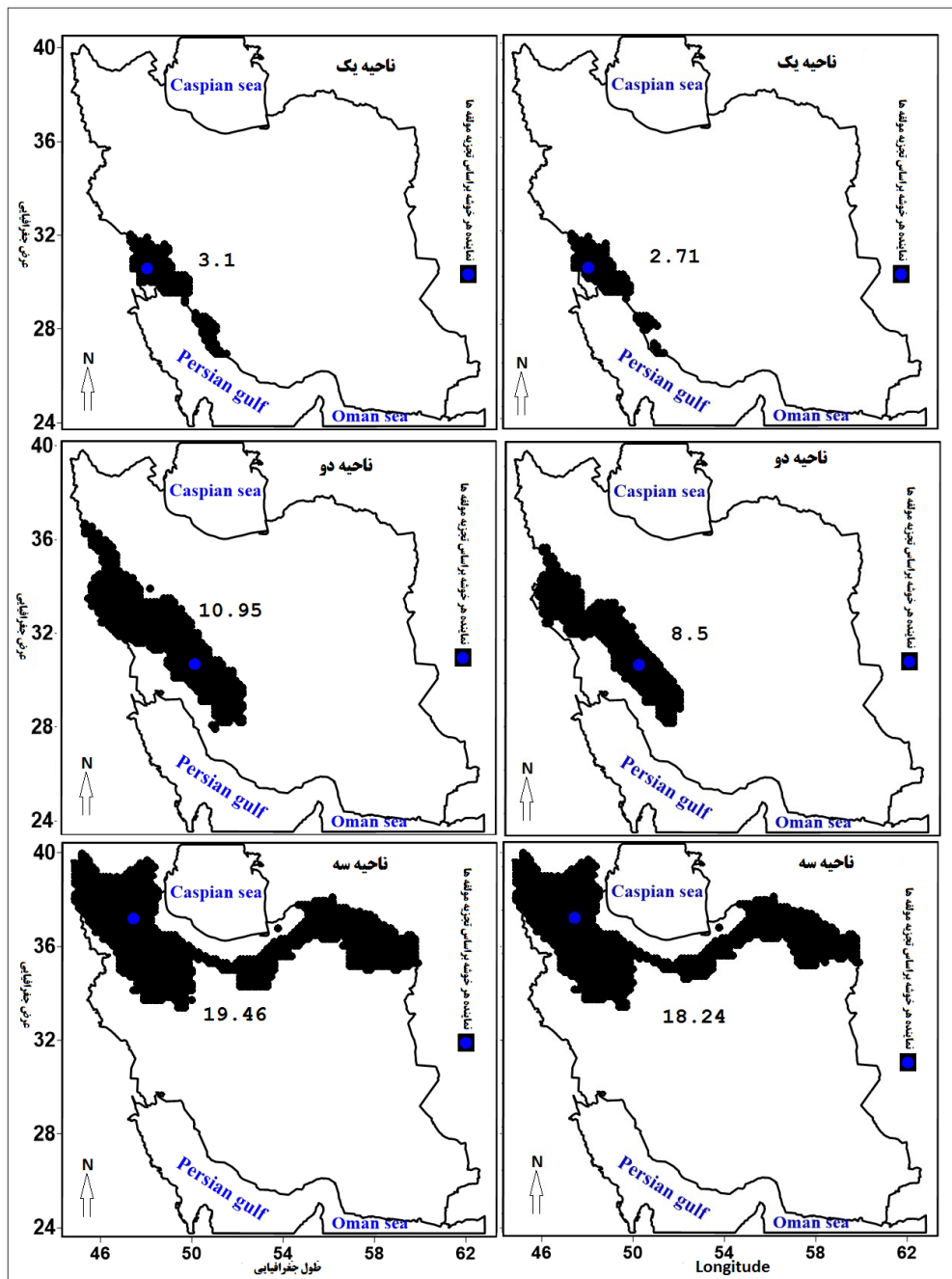
امواج در گذر از منطقه کوهستانی سبب شکل گیری مناطق صعود و نزول متواالی در مسیر جابجایی خود بر روی کوهستان می‌گردد و در صورت وجود رطوبت سبب توزیع متفاوت بارش در این ناحیه از کشور می‌گردد که مجموع چنین مکانیسمی که ماهیت مناطق کوهستانی را شکل می‌دهند از علل تغییرات بالای توزیع بارش در چنین مکان‌های می‌باشد (هوز<sup>۱</sup>: ۲۰۱۴).



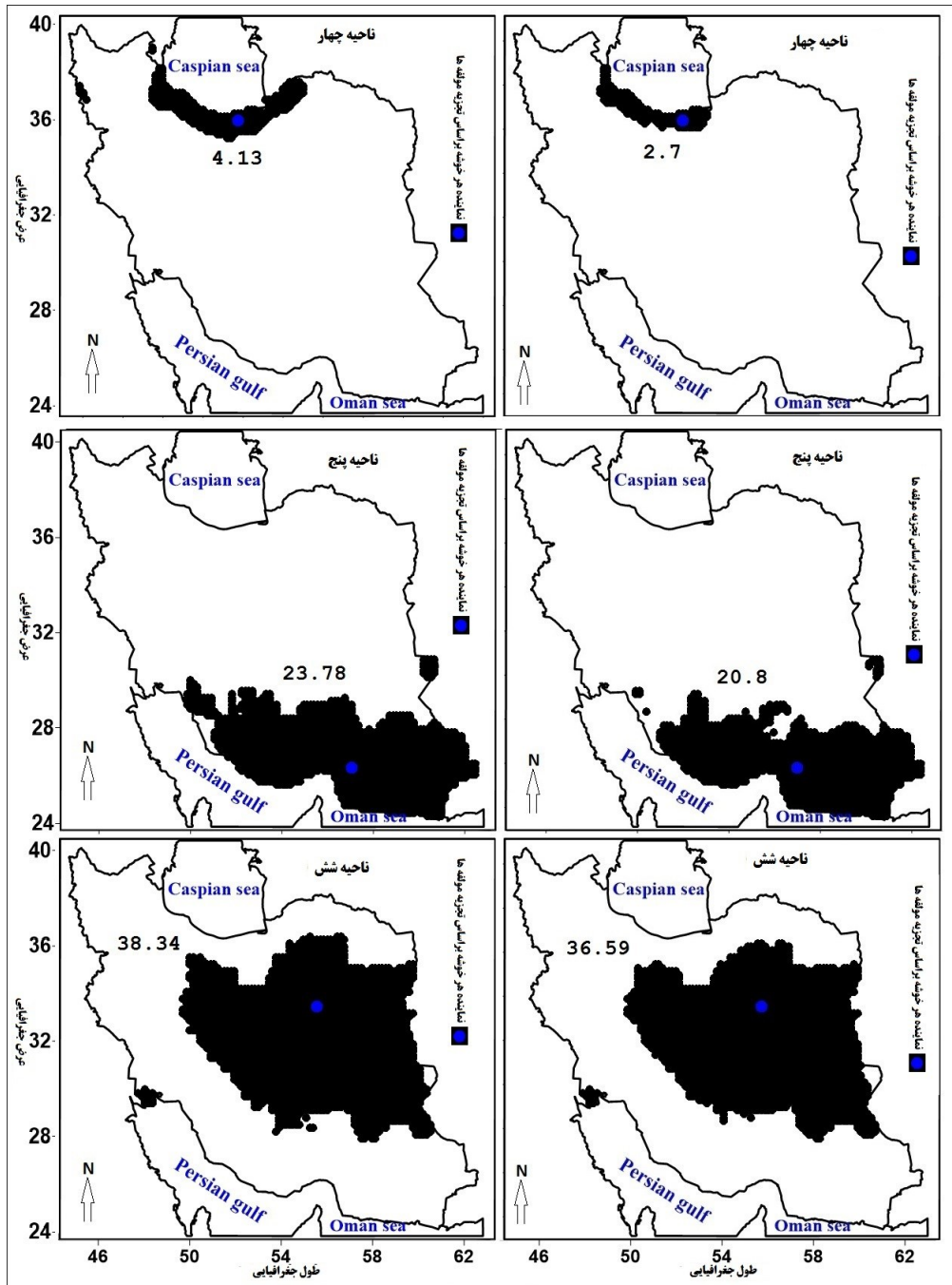
شکل(۲). سازوکار وقوع بارش در مناطق کوهستانی (Houze 2012:4)

در این ناحیه بیشترین مقدار بارش مربوط ماه های زانویه، فوریه، مارس و دسامبر می باشد به طوری که بیشترین مقدار میانگین ماهانه بارش با ۹۴/۲ میلیمتر برای ماه زانویه می باشد جدول(۲) ناحیه سوم به صورت نواری از شمال غرب تا شمال شرق کشیده شده است ۱۹/۴۷ درصد از مساحت ایران را در بر گرفته است. میانگین بارش در این پهنه از کشور به ۳۳۱/۷۲ میلیمتر رسیده است جدول(۱). این خوش بخش‌های از شمال غرب کشور، دامنه‌های جنوبی البرز، قسمت‌های از شمال شرق کشور و شمال شرقی ارتفاعات زاگرس را تشکیل می‌دهد. در این ناحیه بیشترین رخداد بارش‌ها بر خلاف ناحیه دوم (ناحیه زاگرسی) که در زانویه، فوریه و مارس بوده است در این ناحیه در ماه‌های مارس آوریل و می رخداده است به عبارتی دیگر فصل بارشی این ناحیه فصل بهار می باشد. در واقع می توان گفت که بارشهای بهاره این ناحیه در فصل بهار در ارتباط با عبور چرخند یا سامانه کم‌فشار دینامیکی مهاجر و منطقه همگرایی و گردش چرخند مستقر بر روی دریای عرب می‌باشد همچنین سامانه بندالی از نوع زوجی در تراز میانی وردسپهر با توقف حرکت سامانه‌های گردشی در تراز میانی

و زیرین جو منجر به وقوع بارش در این ناحیه شده است (خورشید دوست و همکاران ۱۳۹۵: ۵۳-۸۲). در این ناحیه میانگین رخداد بارش در فصل تابستان تقریباً ۲۰ میلیمتر می‌باشد جدول (۳).



شکل (۳). نواحی بارشی ایران براساس میانگین و ضریب تغییرات سالانه و ماهانه (نقاط آبی رنگ نماینده هر خوشه می باشد که براساس تجزیه مولفه ها مشخص گردیده است)



ادامه شکل (۳). نواحی بارشی ایران براساس میانگین و ضریب تغییرات سالانه و ماهانه

بنابراین در این ناحیه برخلاف ناحیه اول و دوم رخداد بارش ها تقریبا در همه ماه پراکنده شده اند به طوری که همین تنوع مکانی بارش در نواحی مختلف بیانگر توزیع مکانی شدید بارش در این ناحیه شده است. از

طرفی دیگر با توجه به اختلاف نمایه های مرکزی (میانگین، میانه و مد) تاییدی دیگر بر افت خیزهای روزانه بارش و ضریب تغییرات مکانی بالای بارش در این ناحیه از کشور می باشد جدول(۱). ناحیه چهارم با وجود اینکه کمترین مساحت را با  $4/13$  درصد به خود اختصاص داده است اما در بین سایر نواحی دیگر از بیشترین مقدار بارشی برخوردار می باشد به طوری که میانگین بارش در این نواحی به  $745/95$  میلیمتر رسیده است جدول(۱). در این ناحیه برخلاف سایر نواحی دیگر نمایه های مرکزی اختلاف کمتری با هم دارند که این بیانگر این است که در این ناحیه افت خیز بارش در این ناحیه کمتر می باشد به طوری که ضریب تغییرات  $15/4$  درصد تاییدی بر این وضعیت می باشد. در سواحل جنوبی دریای خزر بارش به عنوان مهمترین عنصر اقلیمی و پدیده جوی از توزیع زمانی و مکانی پیچیده ای برخوردار می باشد. موقعیت جغرافیایی منحصر بفرد این منطقه به ویژه قرار گیری آن بر جانب جنوبی دریای خزر، استقرار رشته کوه های مرتفع و توپوگرافی پیچیده همراه با جابجایی مداوم پشتها و ناوه های امواج غربی بر روی منطقه بروز چنین پیچیدگی را در ساختار بارش منطقه ای در این ناحیه در پی داشته است. حداکثر میانگین بارش در این ناحیه (ناحیه چهار)  $986/41$  میلیمتر و کمترین مقدار میانگین بارش  $524/18$  میلیمتر می باشد جدول(۱). توزیع ماهانه میانگین بارش در این ناحیه (ناحیه چهار)، بیانگر این است که بیشترین رخداد بارش در این ناحیه در فصل پاییز رخ داده است. آب و هوای دریای خزر متأثر از موقعیت جغرافیایی دریا، سامانه های جوی عبوری از روی آن و ارتفاعات سواحل دریا است. در ناحیه چهارم یا ناحیه خزری سه نوع سیستم فشار جو در ریزش بارش سواحل جنوبی دریای خزر موثرند که عبارتند از فرابار سیبری، سیستم های کم فشار و آنتی سیکلون های مهاجر. در میان این سه عامل، بارش های با منشا فرا بار سیبری دارای فراوانی وقوع بیشتری اند. (مرادی: ۱۳۸۵: ۷۷-۸۸).

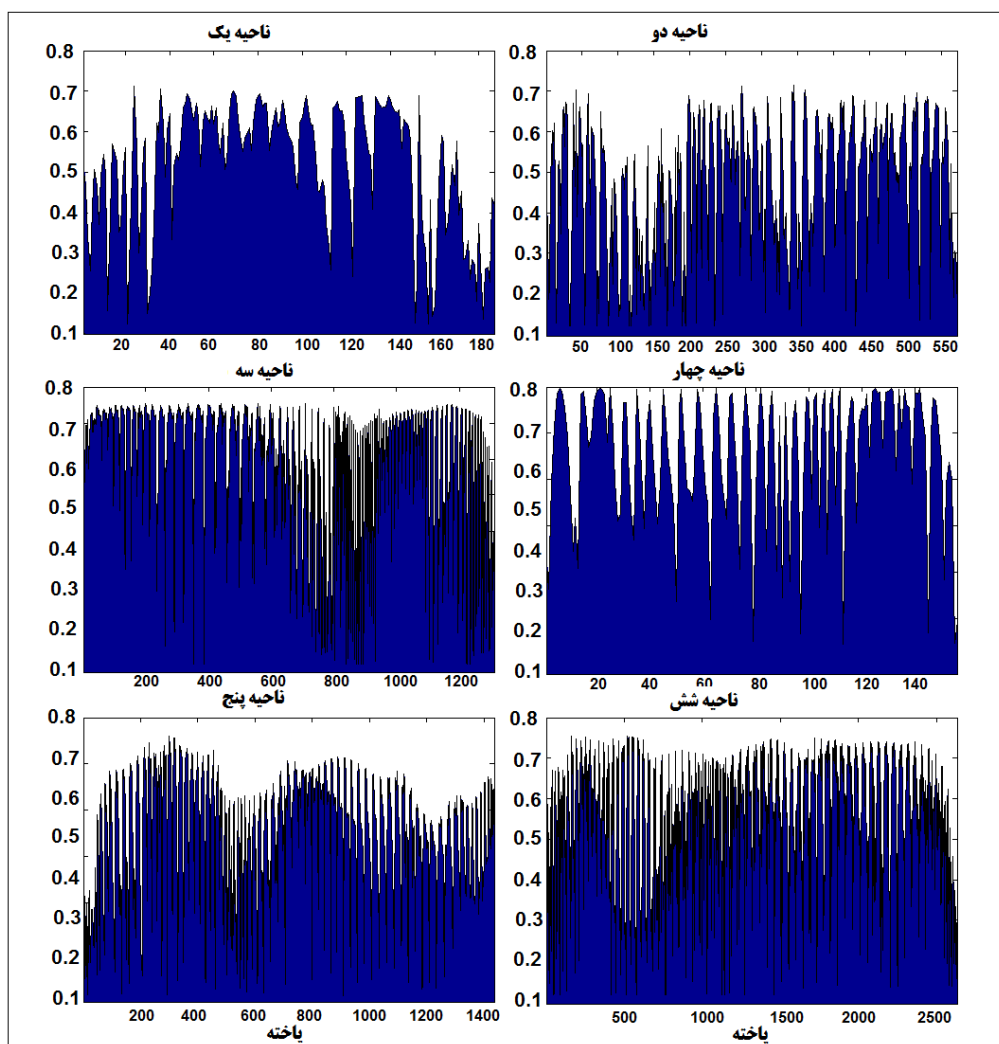
ناحیه پنجم که براساس تحلیل خوش ای تقریبا  $22/93$  و براساس تحلیل سیلهوته  $19/98$  درصد از کستره ایران را در بر می گیرد بیشتر نواحی ساحلی خلیج فارس و دریای عمان (جنوب و جنوب شرق) را شامل می شود شکل(۳). میانگین بارش در این ناحیه  $196/97$  میلیمتر می باشد جدول(۱). ضریب تغییرات بارش در این نواحی بسیار بالا می باشد به طوری که ضریب تغییرات مکانی بارش در این ناحیه به  $58$  درصد رسیده است. حداکثر میزان بارش در این ناحیه  $503/4$  میلیمتر و حداقل میانگین بارش در این ناحیه  $60/14$  میلیمتر می باشد. این بخش از کشور به ویژه در اکثر ماه های تحت سیطره زبانه پر ارتفاع جنوب حاره می باشد و این وضعیت به ویژه در فصل تابستان به خاطر شرایط گلخانه ای جو منجر به پدیده شرجی شده است. بنابراین در این نواحی بارش های بیشتر فصلی می باشد به طوری که بیشتر رخداد های بارش در این نواحی در ماه های زانویه، فوریه، مارس و دسامبر رخ می دهد. به طوری که از مجموع بارش  $196/97$  میلیمتر تقریبا  $145/3$  میلیمتر در این چهار ماه رخ می دهد جدول(۲). بنابراین در این بخش از کشور به خاطر فعالیت پرفشار جنوب حاره ای در این نواحی در اکثر ماه های فاقد بارش قابل توجهی هستند. با این وجود در این ناحیه به ویژه در بخش های سواحل دریای عمان بارش های تابستانه ناشی فعالیت کمفارش موسومی (گنگ) می باشد. این وضعیت ناشی از گسترش شرق سوی مرکز پرفشار جنوب حاره ای ایران در ترازهای میانی وردسیه و افزایش گردد و اچرخدنی بر جانب شمالی شبه قاره هند و پاکستان، جابجایی غرب سوی کم فشارهای موسومی و ورود آن ها به منطقه دریای عرب امکان پذیر گردیده است(علیجانی: ۲۰۱۱؛ ۲۰۵-۲۲۷).

نواحی دیگر بیشترین گستره را (تقرباً ۳۸/۳۶ درصد) به خود اختصاص داده است بیشتر شرق و نواحی مرکزی ایران را در بر گرفته است. میانگین بارش در این ناحیه ۱۳۳/۲۳ میلیمتر می باشد. ضریب تغییرات بارش در این نواحی تقریباً بالا می باشد به طوری که دامنه تغییرات بارش در این نواحی به ۲۱۳/۱۷ میلیمتر رسیده است. حداکثر مقدار بارش در این ناحیه به ۳۲۶/۵۷ میلیمتر و حداقل مقدار بارش ۶۰/۸۵ میلیمتر می باشد جدول(۱). از طرفی مقدار کشیدگی بالای ۲ در این ناحیه همانند سایر نواحی دیگر بیانگر نایکنواخت بودن توزیع بارش می باشد کما اینکه دامنه چارکی بالای ۱۰۰ میلیمتر در این ناحیه تاییدی دیگر بر این وضعیت می باشد. همانند ناحیه پنج غالب بارش های این ناحیه در ما های ژانویه، فوریه، مارس، آوریل و دسامبر رخ می دهد به طوری که از مجموع ۱۳۳/۲۳ میلیمتر تقریباً بالای ۱۱۰ میلیمتر آن در این چند ماه رخ می دهدند جدول(۲). بیشتر مناطق بیابانی ایران از جمله بیابان عظیم لوت در این ناحیه قرار دارد که در واقع در قسمت های سرقي زاگرس واقع شده است. به عبارتی دیگر همین ارتفاعات زاگرس مانع از رسیدن توده های بارش زا به این منطقه شده است به طوری که در ناحیه ۲ توضیحات مربوط به مکانیسم بارش های زاگرس گویای همین است. ویژگی اصلی سرزمین های این کویر، گرمای طاقت فرسای تابستانی بادهای قدرتمند پیوسته، شن های روان، خاک نمکی و آب تقریباً نایاب است؛ در نتیجه سکونت در آن نا ممکن است. حتی جاده ها نیز از میانه کویر عور نکرده اند و در لبه های شمالی و جنوبی، مسیرهای راه آهن و جاده های اتومبیل رو، ساخته شده است. با این حال در حاشیه غربی این کویر که در کوه پایه های زاگرس قرار دارند شرایط اقلیمی بسیار ملایم تر است. بخش عمده ای از بارش های ۱۰۰ تا ۱۵۰ میلی متری سالانه در این ناحیه به سرعت در حوضه های زیرزمینی ناپدید می شوند که برای آب یاری مزارع و باغ ها از اعماق زمین بیرون کشیده می شوند(کردوانی ۱۳۸۸: ۱۴۶). در شکل(۴) ضریب سیلهوته برای هر شش ناحیه آمده است.

جدول(۲). میانگین ماهانه بارش در نواحی شش گانه ایران

ناحیه	ژانویه	فوریه	مارس	آوریل	مای	ژوئن	ژوئیه	آگوست	سبتمبر	اکتبر	نوامبر	دسامبر
یک	۶۱/۲	۳۶/۶	۳۲/۲	۱۸/۲	۴/۸	/۱	/۱	/۲	/۵	۶/۱	۳۳/۳	۵۹
دو	۹۴/۲	۷۸/۴	۸۳/۹	۶۰/۶	۲۲/۷	۱/۱	/۹	/۷	۱/۵	۱۹/۵	۶۱/۲	۸۶/۹
سه	۳۲/۶	۳۳	۴۵/۴	۴۹/۳	۳۶/۶	۱۰/۷	۵/۳	۴/۴	۶/۷	۲۰/۸	۲۹/۱	۳۰/۳
چهار	۶۳/۷	۶۱/۲	۷۲/۷	۵۹/۹	۴۷/۳	۳۰	۲۵/۶	۳۶/۵	۶۱/۲	۸۴/۸	۸۱/۱	۷۲/۳
پنج	۴۵/۱	۳۵/۶	۳۱/۸	۱۲/۸	۳/۵	۳/۶	۵/۹	۵/۳	۱/۸	۲/۸	۹/۸	۳۲/۸
شش	۲۳/۹	۲۲/۷	۲۵/۶	۱۹/۳	۸/۳	۱/۴	/۸	/۶	/۶	۳/۳	۹/۱	۱۸/۱

مقدار شاخص های اعتبار سنجی سیلهوته بین ۱ و -۱- متغیر است در صورتی که این شاخص برابر ۱ باشد نمایانگر این است که خوشبندی به درستی صورت گرفته است. اگر مقدار شاخص نزدیک صفر باشد این بدین معناست که نمونه را می توان به یک خوشه نزدیک تر نسبت داد و نحوه قرارگیری نمونه از دو خوشه به یک اندازه دور است. همان طوری که مشاهده می شود این ضریب در هر شش نواحی مقادیر مثبت و بالای را داشتند که این بیانگر صحت خوشه بندی ناشی از تحلیل خوشه ای می باشد.

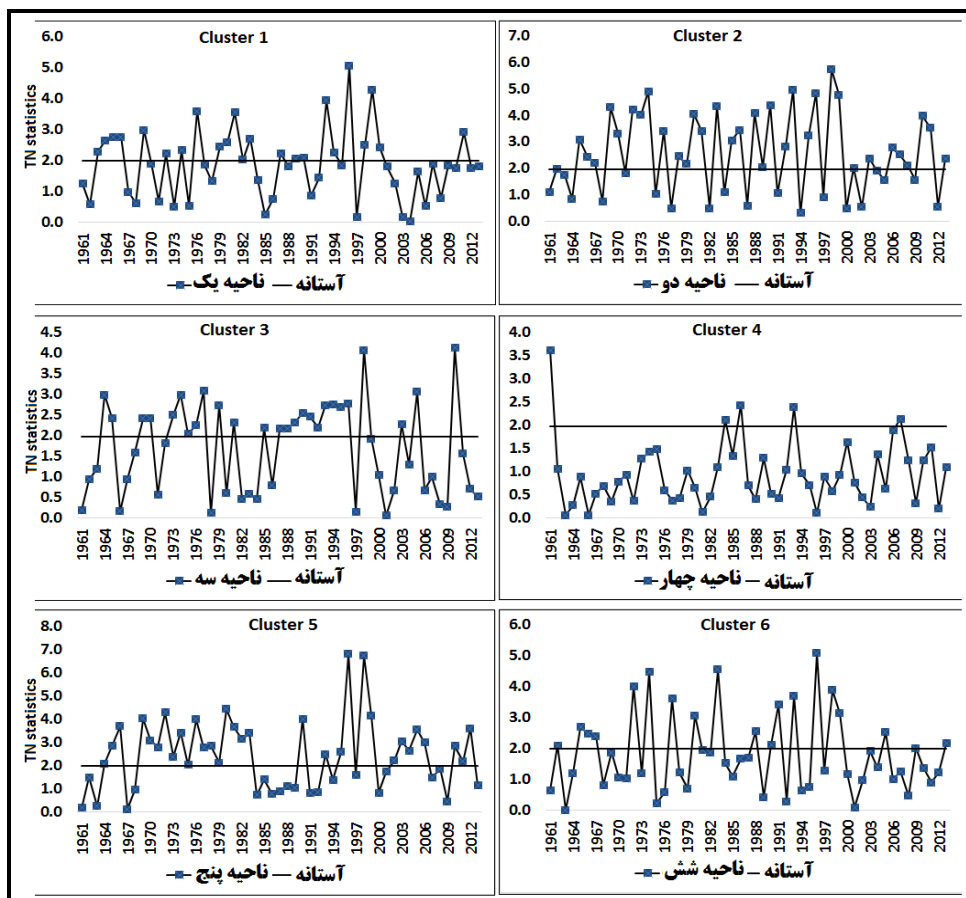


شکل(۴). ضریب سیلهوته برای نواحی مختلف بارشی ایران

### بررسی و تحلیل آشفتگی بارش در نواحی بارشی

بعد از شناسایی طبقات بارشی ایران به کمک تحلیل خوش‌ای و تحلیل سیلهوته به کمک تجزیه مولفه‌ها در هر ناحیه نماینده هر ناحیه شناسایی شد. سپس به کمک آزمون کاکس آشتگی‌های سالانه بارش در هر ناحیه مورد تجزیه تحلیل قرار گرفت که نتایج آن در شکل(۵) ارایه شده است. وضعیت آشفتگی بارش در ناحیه دوم خیلی شدیدتر از ناحیه اول می‌باشد به طوری که در این ناحیه در اغلب سالها (۳۴ سال از ۵۵) بارش فاقد نظم پذیری بوده است یا به عبارتی دیگر افت خیز آشفتگی بارش در این ناحیه شدیدتر می‌باشد. در این ناحیه آشفتگی‌های با توالی دو ساله در این ناحیه ۱۷ بار اتفاق افتاده است این در حالی می‌باشد که توالی سه ساله ۶ و چهار ساله یک بار رخ داده است. در مجموع با توجه به آماره  $19/85$  در این ناحیه، بارش از آشفتگی بروخوردار بوده است جدول(۳). وضعیت آشفتگی بارش در ناحیه سوم تقریباً وضعیتی مشابه با ناحیه اول دارد با

این تفاوت که توالی سالهای همراه با آشفتگی در این ناحیه بسیار زیاد تر می باشد. برای مثال در این ناحیه بارش از سال ۱۹۸۸ تا ۱۹۹۷ به طور متواالی از آشفتگی برخوردار بوده است که یک توالی ده ساله را تشکیل داده است.



شکل(۵). آشفتگی بارش طی سالهای مختلف در نواحی شش گانه

همچنین یافته‌ها نشان می‌دهد که توالی آشفتگی‌های ۵ ساله ۷ بار، طی دوره آماری ۵۵ ساله رخنمود داشته است. از طرفی دیگر توالی‌های هشت و نه ساله به ترتیب ۳ و ۲ بار طی ۵۵ سال رخ داده است جدول(۴). وضعیت آشفتگی بارش در ناحیه‌ی چهارم یا همان ناحیه‌ی خزری شرایط متفاوت تری را نسبت به سایر نواحی تجربه کرده است. به طوری که در این ناحیه بارش فقط در ۵ سال از ۵۵ سال از آشفتگی برخوردار بوده است که این سالها شامل ۱۹۶۱، ۱۹۸۵، ۱۹۸۷، ۱۹۹۴ و ۲۰۰۴ می باشند شکل(۳). در مجموع در این ناحیه با توجه به اماره ۰/۸۹ می توان گفت که بارش در این ناحیه فاقد اشتفتگی می باشد همچنین وضعیت ضریب تعییرات اندک بارش در این ناحیه می تواند تاییدی بر یافته‌های یاد شده باشد. در ناحیه پنجم شدیدترین آشفتگی‌ها رخ داده است و از طرفی دیگر این آشفتگی‌ها بیشتر به صورت چندین سال متواالی اتفاق افتاده

است همین وضعیت سبب شده است تا توالی آشفتگی های ده ساله در این ناحیه به ۶ بار طی ۵۵ سال رخ دهد. از طرفی دیگر توالی سالهای آشفتگی دو ساله به ۲۴ بار رسیده است. در ناحیه ششم با وجود اینکه بارش در ۱۹ سال از ۵۵ سال نامنظم بوده است اما این نامنظم بر عکس نواحی پنج که به صورت توالی تکرار شده بود در این نواحی آشفتگی های بارش به صورت پراکنده در طول دوره اماری پراکنده شده است به همین خاطر مشاهده می شود که تعداد سالهای همراه با آشفتگی دو ساله فقط ۴ بار طی ۵۵ سال رخ داده است که این وضعیت نسبت به سایر نواحی پنج خیلی کم می باشد به عبارتی دیگر تقریباً و ضعیتی مشابه با ناحیه اول را تجربه کرده است با این تفاوت که در ناحیه ششم توالی چهار و پنج ساله مشاهده نشده است. وجود آشفتگی های بارش می تواند منجر به رخداد جهش و نوسان در سری زمانی بارش شود.

جدول(۳). آماره TN برای نواحی بارشی ایران

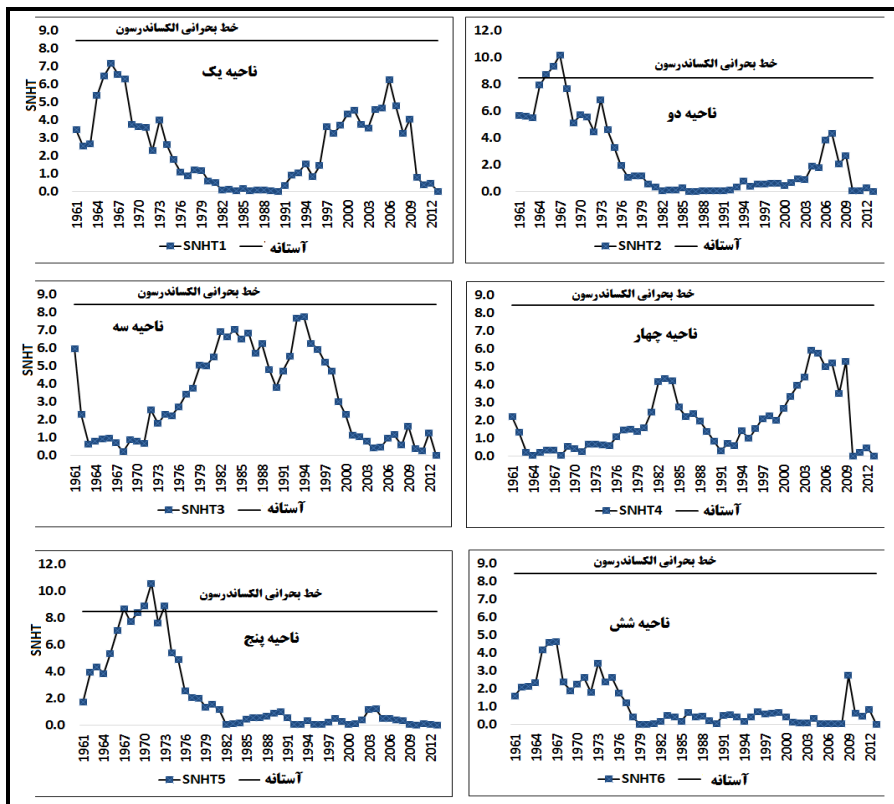
ناحیه	ناحیه یک	ناحیه دو	ناحیه سه	ناحیه چهار	ناحیه پنج	ناحیه شش
TN	۸/۵۷	۱۹/۸۵	۱۳/۳۷	/۸۹	۱۶/۳۰	۱۸/۰۶

جدول(۴). توالی آشفتگی بارش طی سالهای مختلف

تماری	ناحیه یک	ناحیه دو	ناحیه سه	ناحیه چهار	ناحیه پنج	ناحیه شش
تماری یک ساله	۲۳	۳۴	۲۶	۵	۳۲	۱۹
تماری دو ساله	۱۱	۱۷	۱۵	-	۲۴	۴
تماری سه ساله	۶	۶	۱۱	-	۱۸	۱
تماری چهار ساله	۳	۱	۹	-	۱۴	-
تماری پنج ساله	۱	-	۷	-	۱۲	-
تماری شش ساله	-	-	۵	-	۱۰	-
تماری هفت ساله	-	-	۴	-	۹	-
تماری هشت ساله	-	-	۳	-	۸	-
تماری نه ساله	-	-	۲	-	۷	-
تماری ده ساله	-	-	۱	-	۶	-

از این رو در ادامه به منظور بررسی و تحلیل جهش و نوسان میانگین بارش نواحی شش گانه ایران از آزمون الکساندرسون بهره گرفته شده است که نتایج آن در اشکال(۶) و (۷) ارایه شده است. براساس شکل(۶) بارش به جز در نواحی دو و پنج در سایر نواحی دیگر بارش فاقد جهش بوده است. در ناحیه دو سالهای ابتدای یعنی ۱۹۶۴ تا ۱۹۶۷ بارش جهش پیدا کرده است. ناحیه پنج تقریباً وضعیتی مشابه با ناحیه دو را تجربه کرده است با این تفاوت که بارش در سالهای ۱۹۶۷ تا ۱۹۷۳ جهش پیدا کرده است. در مجموع می توان گفت با وجود اینکه بارش در اکثر نواحی ایران از آشفتگی برخوردار بوده است اما این آشفتگی ها سبب جهش میانگین نشده است. در ادامه به منظور بررسی و تحلیل چرخه های نواحی بارشی از تحلیل طیفی بهره گرفته شده است که نتایج آنها در جدول(۵) ارایه شده است. براساس این جدول در هر شش ناحیه بارشی ایران چرخه های

کوتاه مدت بر بارش حاکم می باشد. این در حالی می باشد که دوستکامیان و همکاران در تحلیل چرخه های نواحی شدید بارشی ایران چرخه های کوتاه مدت را شناسایی کرده اند (دوستکامیان و میرموسوی ۱۳۹۴: ۱۴۶-۱۳۱). با این وجود در ناحیه اول بیشتر چرخه های ۵ ساله با احتمال رخداد بین ۱/۲ الی ۱/۸ حاکم می باشد. در ناحیه دوم علاوه بر اینکه نوسان ۵ ساله وجود داشت دو نوسان ۲/۹۴ و ۶ ساله با پراش ۱۹۸۸۵/۶ وجود دارد.



شکل(۶). آماره الکساندرسون برای نواحی شش گانه ایران

در ناحیه چهار، پنج و شش همان طوری که از جدول ۵ هم مشخص می باشد بیشتر چرخه های کوتاه مدت ۳ تا ۵ ساله حاکم می باشد. از طرفی دیگر عساکره و همکاران در بررسی و تحلیل چرخه های آب قابل بارش در ایران نشان دادند که چرخه های کوتاه مدت ۳ تا ۵ ساله بیشترین حاکمیت را بر آب قابل بارش کشور داشتند (عساکره ۱۵: ۹۵۷۶-۹۵۶۹). بیشتر دانشمندان چرخه ها ۲ و ۳ ساله را با ال نینو - نوسانات جنوبی و گردش عمومی جو و جریانات مداری مرتبط می دانند. برای مثال عساکره و همکاران چرخه های ۲-۵ ساله را به رخداد ال نینو مربوط دانستند (عساکره و همکاران ۱۳۹۳: ۴۳۵-۴۴۴). همچنین کانه و تکسیرا<sup>۱</sup> (۱۹۹۱):

<sup>۱</sup> - kane and teixeira

(۹۴-۸۹) چرخه های ۲-۳ ساله در بارش ماساچوست و همچنین هامارتان (۲۰۰۸: ۱۶۳-۱۵۵) چرخه های ۳-۲ ساله در بارش چین را به تغییرات دو سالانه (QBO) نسبت داده اند. در همین راستا کالایسی (۲۰۰۴: ۷۱۹-۷۲۵) چرخه های ۶-۲ ساله را در بارش ترکیه را به رخداد ال - نینو مربوط دانستند. در مجموع می توان گفت که بارش ایران در برخی نقاط تحت تأثیر عوامل متعددی قرار دارد و الگوهای متنوعی را نشان می دهند در حالی که در بخش‌هایی الگوهای محدودی موثر هستند. می توان گفت که علاوه بر سیستم های کلان مقیاس جوی عوامل محلی و همسایگان نیز در موقع الگوهای بارش در این منطقه دخالت دارند. عواملی از قبیل مجاورت با آبهای خلیج فارس و دریای عمان، قرارگیری در سایه ناهمواری های زاگرس نیز می تواند باعث تنوع زیاد در الگوهای بارشی شود (علیجانی و همکاران ۱۳۹۵: ۲۱۷-۲۳۶).

جدول (۵). مشخصات چرخه های نواحی شش گانه بارشی ایران

ناحیه	پراش	احتمال	%	چرخه	شماره همساز معنی دار
ناحیه یک	۷۵۰۱۹/۵	/۱۸	۱۸	۵/۵	۹
	۵/۶۱۸۱۰	/۲	۲۰	۵	۱۰
ناحیه دو	۳۳۳۹۶۳/۳	/۱۶	۱۶	۶/۲۵	۸
	۱۹۸۸۸۵/۶	/۱۸	۱۸	۵/۵	۹
ناحیه سه	۳۰۴۳۶۴/۱	/۳۴	۳۴	۲/۹	۱۷
	۸۹۳۵۸/۳	/۳	۳	۳/۳	۱۵
ناحیه چهار	۱۳۲۱۹۸	/۳۲	۳۲	۳/۱	۱۶
	۱۳۷۲۴۴/۵	/۲	۲۰	۵	۱۰
	۲۴۵۶۸۸/۹	/۲۲	۲۲	۴/۵	۱۱
	۱۸۶۵۸۶	/۲۴	۲۴	۴/۱	۱۲
ناحیه پنج	۱۲۱۸۴۸/۷	/۳۲	۳۲	۳/۱	۱۶
	۲۸۰۳۱۶/۲	/۲۲	۲۲	۴/۵	۱۱
ناحیه شش	۱۲۸۴۹۷/۵	/۳	۳۰	۳/۳	۱۵
	۳۱۴۶۰/۴	/۲۲	۲۲	۴/۵	۱۱
	۱۹۹۵۰/۳	/۲۶	۲۶	۳/۸	۱۳

### نتیجه گیری

در این مطالعه به بررسی و تحلیل آشونگیها، جهش و نوسانات نواحی بارشی ایران پرداخته شد. در ابتدا به کمک تحلیل خوش ای نواحی بارشی ایران شناسایی شد. سپس به منظور اعتبار سنجی نواحی بارشی شناسایی شده از تحلیل خوش ای و تحلیل سیلهوته استفاده شد. نتایج حاصل از این مطالعه نشان داد که نواحی بارش ایران در شش ناحیه قابل تقسیم بندی می باشد. در این تقسیم بندی ناحیه خزری به عنوان پربارش ترین ناحیه بارشی ایران می باشد که هماهنگ با یافته های (مسعودیان ۹۱-۱۳۸۸: ۷۳) عربی ۱۳۸۷: ۱-۱۵، دوستکامیان و میرموسوی ۱۳۹۴: ۱۳۱-۱۴۶، Domroes et al 1998: 151-159) است. از طرفی دیگر نتایج نشان داد که عوامل محلی به ویژه ارتفاعات نقش به سزاگی در ناحیه بندی بارش دارد و تأییدی بر یافته های نصیری و قائمی (۱۳۷۸: ۱۷۹) و حیدری و علیجانی (۱۳۷۸) است. ناحیه کم بارش ایران که بیشترین

مساحت را به خود اختصاص داده است بیشتر نواحی مرکزی و بخش های از شرق کشور را شامل می شد. توزیع رژیم بارش در نواحی ششگانه ایران بیانگر این است که در ناحیه زاگرسی (ناحیه یک) رژیم بارش بیشتر در فصل زمستان، در ناحیه دو در فصل زمستان و بهار، در ناحیه سه رژیم بارش تقریباً در همه ماه ها پراکنده شده است ولی با این وجود سهم فصل تابستان از بقیه فصول کمتر می باشد. در ناحیه چهار یعنی ناحیه خزری رژیم بارش تقریباً در همه ماه ها پراکنده شده است به طوری که بارش به طور تقریباً منظمی در همه ماه های سال توزیع شده است (رضیئی ۱۳۹۶: ۶۷۳-۶۹۵). این در حالی می باشد که رژیم بارش در ناحیه پنج در فصل زمستان و گاهها تابستان پراکنده شده است. کرانه های دریای عمان و بخش بزرگی از جنوب شرق ایران هم در آن ها بارش های موسمی تابستانه قابل توجه است. در ناحیه شش تقریباً وضعیت مشابه با ناحیه یک و دو را دارد. در ادامه به بررسی و تحلیل آشفتگی های بارش در هر شش ناحیه بارشی ایران پرداخته شده است. برای این منظور ابتدا به کمک تجزیه مولفه های اصلی نماینده بارشی در هر نواحی شناسایی شده است. نتایج حاصل از تحلیل آشفتگی های بارش در نواحی شش گانه بارش بیانگر این بوده است که بیشترین آشفتگی های بارش در ناحیه دو یعنی نواحی بارشی زاگرس رخ داده است. این بیانگر این است که ناهمواری های زاگرس به شدت بر تغییر پذیری عناصر اقلیمی در این منطقه تاثیر گذاشته است (عساکر و دوستکامیان ۱۳۹۶: ۱۴۹-۱۶۲) تا جای که شدید ترین تغییرات بارش ایران در این نواحی رخ داده است. این در حالی است که بیشتر توالی آشفتگی بارش در ناحیه پنج یعنی بخش های از کرانه های ساحلی خلیج فارس و دریای عمان رخ داده است به طوری که طی دوره آماری ۵۵ سال توالی آشفتگی دو ساله ۲۴ بار تکرار شده است. در بین نواحی شش گانه ناحیه ۴ یعنی ناحیه خزری کمترین آشفتگی بارش را داشته است که این وضعیت را می توان به نقش منابع رطوبتی عظیم دریای خزر نسبت داد (کارخانه و همکاران ۱۳۹۵: ۱۵۳-۱۶۸). در این ناحیه تعداد سالهای همراه با آشفتگی بارش به کمتر از ۵ سال رسیده است. در ناحیه شش نسبت به سایر نواحی دیگر آشفتگی های بارش به صورت پراکنده طی طول دوره آماری رخ داده است به طوری که حداقل توالی آشفتگی های دو ساله به کمتر از ۴ بار رسیده است. در ادامه به منظور بررسی و تحلیل جهش میانگین بارشی در نواحی شش گانه بارش از نمایه الکساندرسون بهره گرفته شد و نتایج نشان داد که آشفتگی های بارش به جز در سالهای ابتدای ناحیه دو و پنج در سایر نواحی دیگر میانگین بارش سالانه فاقد جهش معنی داری بوده است همچنین نتایج حاصل از تحلیل نوسانات بارش در هر شش نواحی بیانگر این بوده است که چرخه های غالب بر بارش را بیشتر چرخه های کوتاه مدت ۳ تا ۵ ساله تشکیل می دهند.

## منابع

- حیدری، حسن؛ علیجانی، بهلول (۱۳۷۸). طبقه بندی اقلیمی ایران با استفاده از تکنیکهای آماری چند متغیره، پژوهش‌های جغرافیایی، ۳۷(۳)، ۵۷-۷۴.
- خسروی، محمود، حمید نظری پور (۱۳۸۹) کاربرد تحلیل خوشهاي در شناسايي ويزگي هاي روزهاي بارش (ايستگاه خاص)، فضائي جغرافيايي، ۲۱(۲)، ۶۵-۹۰.
- خورشيد دوست، على محمد؛ مفيدى، عباس؛ على اکبر رسولى؛ آزم، كامل (۱۳۹۵)، تحليل همدید سازوکار

- وقوع بارش های سنگین بهاره شمال غرب ایران، مجله مخاطرات محیط طبیعی، (۸)، ۸۲-۵۳
- دستکامیان، مهدی و حقیقی، اسماعیل و بوربوری، رضا (۱۳۹۶)، واکاوی و شناسایی تغییرات مکانی پهنه های گرم و سرد دمایی ایران طی دوره های مختلف در نیم قرن اخیر، مجله جغرافیا و مخاطرات محیطی، شماره ۲۲، صص ۱-۲۰
- دستکامیان، مهدی و میرموسوی، حسین (۱۳۹۴)، بررسی و تحلیل خوش های آستانه بارش های شدید ایران، مجله جغرافیا و توسعه، (۴۱)، صص ۱۳۱-۱۴۶
- رسولی، علی اکبر و همکاران (۱۳۹۲)، بررسی تغییرات زمانی و مکانی بارش های نیسان و پیش بینی آن در استان آذربایجان شرقی، مجله نشریه علمی - پژوهشی جغرافیا و برنامه ریزی، (۳)، ۱۹۱-۱۷۱
- رضیئی، طیب (۱۳۹۶)، شناسایی رژیم های بارشی ایران با استفاده از روش های چند متغیره، مجله فیزیک زمین و فضای، (۳)، ۶۷۳-۶۹۵
- عربی، زهرا (۱۳۸۵)، تحلیل سینوپتیکی بارندگی دوره های ۲۱ تا ۲۶ تیرماه ۱۳۷۸ در ایران، پژوهش های جغرافیایی، (۱۵)
- عزیزی، قاسم، نیری، معصومه، رستمی جلیلیان، شیما، ۱۳۸۸، تحلیل سینوپتیک بارش های سنگین غرب کشور (مطالعه موردی: بارش دوره ۷-۱۴ مارس ۲۰۰۵، ۲۴-۱۶ اسفند ۱۳۸۵)، فصلنامه محیطی جغرافیایی طبیعی، (۴)، ۱-۱۷
- عساکر، حسین (۱۳۸۸)، تحلیل طیفی سری های زمانی دمای سالانه تبریز، تحقیقات جغرافیایی، شماره ۹۳، ۵۰-۳۳
- عساکر، حسین و دستکامیان، مهدی (۱۳۹۶)، بررسی الگوی نواحی هم شیب تغییرات میانگین دمای سالانه ایران، مجله جغرافیا و توسعه، (۴۷)، ۱۴۹-۱۶۲
- عساکر، حسین و دستکامیان، مهدی و قائمی، هوشنگ، تحلیل تحلیل تغییرات ناهنجاری ها و چرخه های آب قابل بارش جو ایران، مجله پژوهش های جغرافیایی طبیعی دانشگاه تهران، شماره ۴، صص ۴۳۵-۴۴۴
- عسگری، احمد و رحیم زاده، فاطمه (۱۳۸۵)، مطالعه تغییر پذیری بارش دهه های اخیر ایران، پژوهش های جغرافیایی، (۵۸)، ۸۰-۶۷
- علیجانی، بهلول و مفیدی، عباس و جعفرپور، زین العابدین و علی اکبری بیدختی، عباسعلی (۲۰۱۱)، الگوهای گردش جو بارش های تابستانه جنوب شرق ایران در ماه ژوئیه ۱۹۹۴، فیزیک زمین و فضای، (۳)، ۲۰۵-۲۲۷
- علیجانی، بهلول (۱۳۸۰)، تیپ های هوا و اثرات آن بر اقلیم ایران، کاوش نامه، (۲)، ۲۱-۴۹
- علیجانی، بهلول، (۱۳۸۱)، بررسی سینوپتیک الگوهای سطح ۵۰۰ هکتو پاسکال در خاورمیانه، نیوار، (۱)، ۴۴-۴۵
- علیجانی، بهلول؛ بیات، علی؛ دستکامیان، مهدی؛ بلیانی، یدالله (۱۳۹۵)، تحلیل طیفی بارش سالانه ایران، نشریه جغرافیا و برنامه ریزی، (۵۷)، ۲۱۷-۲۳۶
- فرج زاده اصل، منوچهر و احمدآباد، مصطفی کریمی و قائمی، هوشنگ و مباشری، محمدرضا (۱۳۸۸)، چگونگی انتقال رطوبت در بارش زمستانه غرب ایران (مطالعه موردی بارش ۳-۷ ژانویه ۱۹۹۶)، مجله برنامه آمایش و

فضا، (۱)، ۱۹۳-۲۱۷

فرج‌زاده، منوچهر، بابائی فینی، ام‌السلمه (۱۳۸۱)، **الگوهای تغییرات مکانی و زمانی بارش در ایران**، زمستان ۱۳۸۱، (۴): ۵۱-۷۰

فرشاد فر، عزت‌الله (۱۳۹۰)، روش‌های پیشرفت‌های اماری چند متغیره، انتشارات دانشگاه رازی کرمانشاه قویدل رحیمی، یوسف و ظرافتی، هادی و فرج‌زاده، منوچهر (۱۳۹۴)، کاربرد مدل **RegCM4** در تحلیل ساختار سینوپتیک موج گرمای جولای ۲۰۰۰ استان خوزستان، برنامه‌ریزی و آمایش فضا، (۳): ۲۶۹-۲۸۶  
کارخانه، میثم و مفیدی، عباس و ذرین، آذر (۱۳۹۵)، شبیه‌سازی نقش دریای خزر بر وقوع بارش‌های منطقه‌ای در سواحل جنوبی دریای خزر، فصلنامه جغرافیا و آمایش شهری و منطقه‌ای، (۱۸): ۱۵۳-۱۶۸  
کردوانی، پرویز (۱۳۸۸)، **کویر (نمکزار) بزرگ مرکزی ایران و مناطق هم‌جوار آن** (مسائل، توانمندی‌ها و راههای بهره‌برداری)، انتشارات دانشگاه تهران  
محمدی، حسین؛ عزیزی، قاسم؛ تقیوی، فرحناز؛ یوسفی، یدالله، (۱۳۹۰)، تغییر پذیری زمانی و مکانی پیشینه بارش ماهانه در بخش‌های جنوبی دریای خزر، پژوهش‌های جغرافیای طبیعی، (۷۵): ۱-۱۸  
مرادی، حمیدرضا (۱۳۸۵)، نقش دریای خزر در شرایط بارشی سواحل شمال کشور، مجله علوم و فنون دریایی ایران، (۲): ۷۷-۸۸

مسعودیان، سیدابوالفضل (۱۳۸۸)، **نواحی بارشی ایران**، مجله جغرافیا و توسعه، (۱۳): ۷۳-۹۱

میر امجدی، مزگان؛ علیرضا محب‌الحجه و محمد میرزائی، (۱۳۹۲)، بررسی تاثیر رشته کوه‌های زاگرس در سازماندهی تولید و انتشار امواج گرانی-لختی، پانزدهمین کنفرانس دینامیک شاره‌ها (سیالات)، بندرعباس، انجمن فیزیک ایران، دانشگاه هرمزگان،

نصیری، بهروز، قائمی، هوشنگ (۱۳۷۸). **تحلیل الگوی سینوپتیکی و دینامیکی بارش‌های کرخه و دز**، فصلنامه تحقیقات جغرافیایی، (۱): ۵۵-۵۴

نظری پور، حمید و دوستکامیان، مهدی و اسدی، آرزو و بیات، علی (۱۳۹۳)، ناحیه‌بندی اقلیمی جنوب و جنوب غرب ایران با رویکرد برنامه‌ریزی منطقه‌ای، برنامه‌ریزی منطقه‌ای، (۴)، ۱۱۹-۱۲۳

Asakereh, H., Doostkamian, M., & Sadrafshtary, S. (2015). **Anomalies and cycles of perceptible water over Iran in recent decades**. Arabian Journal of Geosciences, 8(11), 9569-9576.

Azad, S., Vignesh, T. S., & Narasimha, R. (2010). **Periodicities in Indian monsoon rainfall over spectrally homogeneous regions**. International Journal of Climatology, 30(15), 2289-2298.

Bolshakova, N., & Azuaje, F. (2003). **Cluster validation techniques for genome expression data**. Signal processing, 83(4), 825-833.

Domroes, M., Kaviani, M., & Schaefer, D. (1998). **An analysis of regional and intra-annual precipitation variability over Iran using multivariate statistical methods**. Theoretical and Applied Climatology, 61(3), 151-159.

Garcia J.A Serrano A and cruz Gallego M de la., 2002, **A spectral analysis of Iberian Peninsula monthly rainfall**, Theoretical and Applied Climatology; 71-95

Hartmann, H., Becker, S., & King, L. (2008). **Quasi-periodicities in Chinese precipitation time series**. Theoretical and Applied Climatology, 92(3), 155-163.

- Jianting CHU, XIA jun, XU Chongyu, LI Lu and WANG Zhonggen , (2010), **Spatial and temporal variability of daily Precipitation in Haihe River basin**, 1958-2007, Springer- Verlag, Geoger. Sci, 2(2): 248- 260.
- Kalayci, S., Karabörk, M. Ç., & Kahya, E. (2004). **Analysis of El Nino signals on Turkish stream flow and precipitation patterns using spectral analysis**. Fresenius Environmental Bulletin, 13(8), 719-725.
- Kane, R. P., & Teixeira, N. R. (1991). **Power spectrum analysis of the annual rainfall series for Massachusetts (NE, USA)**. Climatic change, 18(1), 89-94.
- Kirkyla, K. I., & Hameed, S. (1989). **Harmonic analysis of the seasonal cycle in precipitation over the United States: A comparison between observations and a general circulation model**. Journal of climate, 2(12), 1463-1475.
- Lam, J. C., Wan, K. K., Wong, S. L., & Lam, T. N. (2010). **Long-term trends of heat stress and energy use implications in subtropical climates**. Applied Energy, 87(2), 608-612.
- Livada, I., Charalambous, G., & Assimakopoulos, M. N. (2008). **Spatial and temporal study of precipitation characteristics over Greece**. Theoretical and Applied Climatology, 93(1), 45-55.
- Nastos, P. T., & Zerefos, C. S. (2009). **Spatial and temporal variability of consecutive dry and wet days in Greece**. Atmospheric Research, 94(4), 616-628.
- Ochola w.o. and Kerkides p., 2003, **A Markov Chain Simulation Model for Predicting Critical Wet and Dry Spells in Kenya: Analyzing Rainfall Events in Kano Plains**, Imig and Drain. 52:327- 342
- Puig, P., & Stephens, M. A. (2000). **Tests of fit for the Laplace distribution, with applications**. Techno metrics, 42(4), 417-424.
- Rodríguez-Puebla, C., Encinas, A. H., Nieto, S., & Garmendia, J. (1998). **Spatial and temporal patterns of annual precipitation variability over the Iberian Peninsula**. International Journal of Climatology, 18(3), 299-316.
- Suhaila, J., & Jemain, A. A. (2009). **Investigating the impacts of adjoining wet days on the distribution of daily rainfall amounts in Peninsular Malaysia**. Journal of hydrology, 368(1), 17-25.
- Tošić, I., & Unkašević, M. (2005). **Analysis of precipitation series for Belgrade**. Theoretical and Applied Climatology, 80(1), 67-77.